

Chapt. 1. Introduction à la théorie

de bifurcation

1.1. Systèmes dynamiques

1.1.1. Déf. Un triplet $\{T, X, \varphi_T\}$ où T est un sous-ensemble de \mathbb{R} ou \mathbb{Z} , X appelle espace état est un espace de Hilbert et

$$\varphi_T : X \longrightarrow X$$

est une famille d'opérateurs d'evolution paramétrée par $t \in T$ satisfaisant les deux conditions suivantes:

i) $\varphi_0 = \text{id}$ (identité de X dans X).

ii) $\varphi_{t+s} = \varphi_t \circ \varphi_s$ (chaîne continue (discret))

Un système dynamique est donc défini comme

$$m: T \subseteq \mathbb{R} \cup \mathbb{Z} \rightarrow X$$

1.1.2 Exemples

Exemple 1

Considérons

$$y' = f(t, y)$$

et différentielle

l'équation

$$y = \varphi(t, y_0)$$

où $f: D \subseteq \mathbb{R} \times \mathbb{R} \longrightarrow \mathbb{R}$ est une fonction continue par rapport à y et localement lipschitzienne par rapport à t . Alors pour tout $y_0 \in \mathbb{R}$ il existe une unique solution unique $\varphi(t, y_0) = y(t)$ de l'ordre 1 sur l'intervalle I où $\varphi(t, y_0) = 0$ pour $t \in I$.

La solution $y(t)$ est alors un système

continu.

①

Exemple 2 Considérons le système décrit par

$$y_{n+1} = a y_n$$

sur $a \in \mathbb{R}^*$ et $n \in \mathbb{N}$.

Pour $y_0 \in \mathbb{R}$, on a par induction

$$y_n = a^n y_0 \quad \text{Alors } \{y_n\}_{n \in \mathbb{N}} \text{ est discréte.}$$

Exemple 3 Considérons dans un espace de Hilbert l'équation différentielle

$$\dot{y}(t) = A y(t)$$

où A est un opérateur linéaire fermé engendrant sur \mathcal{H} une donnée claire $D(A)$, pour tout $y_0 \in \mathcal{H}$. Alors pour toute fonction f bornée unique admet une solution unique $y(t) = S(t)y_0$ définie sur \mathbb{R}_+ , caractérisée par $y'(t) = A y(t)$, $y(0) = y_0$ et un tel système dynamique que continu.

1.1.3. Déf (orbite)

Une orbitre partant de x_0 est l'ensemble

$$\{Q_r(x_0); r \in \mathbb{T}\}$$

1.1.4. Déf (Équilibre)
 x_0 est un équilibre si $Q_r(x_0) = x_0$ pour tout $r \in \mathbb{T}$.

(9)

1.1.5. Def (cycle)

Un cycle est une orbite γ telle que pour tout $x_0 \in \text{Lo}_1$, $\varphi_{t+T_0}(x_0) = \varphi_T(x_0)$ pour un $T_0 > 0$, pour tout $t \in \mathbb{R}$.

Dans le reste de ce chapitre, on va considérer les systèmes dynamiques décrits par des équations différentielles de la forme

$$\dot{y}^i(t) = f^i(y(t))$$

où f est une fonction de classe C^1 définie sur un domaine $S \subseteq \mathbb{R}^n$ et à valeurs dans \mathbb{R}^n . Supposons que l'origine $y = 0$ est un point d'équilibre pour ce système, c.a.d $f(0) = 0$.

1.1.6. Stab. Def. (Stable et ϵ)

Si pour tout voisinage U de l'origine \forall suffisamment petit, il existe un voisinage V de l'origine tel que $\varphi_t(y) \in U$ pour tout $y \in V$, alors l'origine est dite stable.

1.1.7. Def (Stable asymptotique)

L'origine est dite asymptotiquement stable si il existe un voisinage U_0 de l'origine tel que $\varphi_t(y_0) \rightarrow 0$ pour tout $t \geq 0$ quand $t \rightarrow +\infty$.

Durant le premier semestre, nous avons vu que pour un système d'E.D.O. deux approches pour étudier la stabilité d'un point d'équilibre pour un système dynamique différentiel ordinaire consistent par une équation différentielle linéarisée dans \mathbb{R}^n , à savoir méthode de la géométrie et méthode directe de Lyapunov.

1.2. Bifurcations

Considérons sur \mathbb{R}^n , un système dynamique continu dépendant d'un paramètre réel μ .

$$y' = f(y, \mu) \quad \rightarrow \quad \mathbb{R}^n \xrightarrow{\text{f}} \mathbb{R}^n$$

où la fonction $f : \mathbb{R}^n \rightarrow \mathbb{R}^n$

f est un ouvert de \mathbb{R}^n . S_μ est

1.2.1. Déf Le système dynamique S_μ est robuste si le portrait structurellement stable ou perturbation de phase ne change pas pour une modification du paramètre μ .

Une valeur μ_0 pour laquelle le ~~système~~ portrait d'une phase du système S_{μ_0} perd sa qualificative est appelée valeur de bifurcation. Nous allons présenter quelques bifurcations.

Nous allons présenter quelques planaires des systèmes planaires

1.9.3. Bifurcation col-nœud

Considérons le système

$$\begin{cases} \dot{x} = \mu - x^2 \\ \dot{y} = -y \end{cases}$$

Trois cas peuvent être distingués selon les valeurs du paramètre μ :

- (i) $\mu < 0$, il n'y a pas d'équilibre.
- (ii) $\mu = 0$, l'origine $(0,0)$ est l'unique point d'équilibre. Il n'est pas hyperbolique.
- (iii) $\mu > 0$, il existe deux équilibres

$\dot{x} = 0$ ou $B = (-\sqrt{\mu}, 0)$.
 $A = (\sqrt{\mu}, 0)$ est un nœud stable.
 A est un nœud instable.

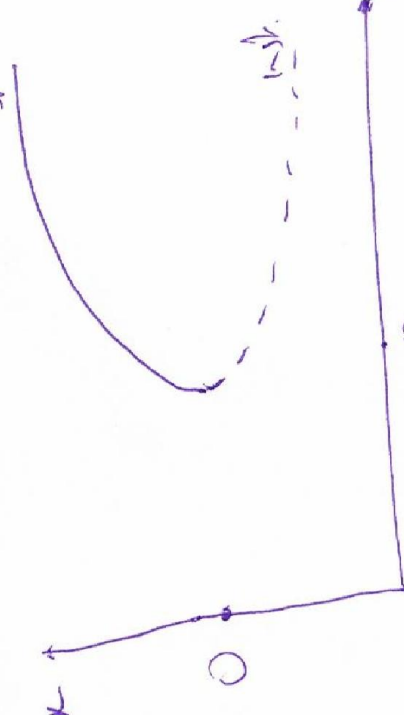


Diagramme de bifurcation col-nœud.

$$x = \pm \sqrt{\mu}$$

$\mu = 0$ est la valeur de bifurcation.

1.9.4. Bifurcation transcritique

Considérons le système

$$\begin{cases} \dot{x} = \mu x - x^2 \\ \dot{y} = -y \end{cases}$$

où μ est un paramètre réel.

(5)

On a trois cas selon les valeurs du paramètre μ

- ii) $\mu < 0$, deux pts d'équilibre $O = (0,0)$ et $A = (\mu, 0)$
L'origine est un noyau stable et d'équilibre $O = (0,0)$. Il est
- iii) $\mu = 0$, un seul pt d'équilibre $O = (0,0)$. Il est instable.

On distingue, l'origine $O = (0,0)$ d'équilibre, deux pts d'équilibre, $O = (0,0)$ et $A = (\mu, 0)$ qui est un noyau stable, qui est un col et $B = (\mu, 0)$ qui est la valeur de bifurcation $\mu = 0$



Diagramme de bifurcation.

1.9.5. Bifurcation pitchfork

Considérons le système

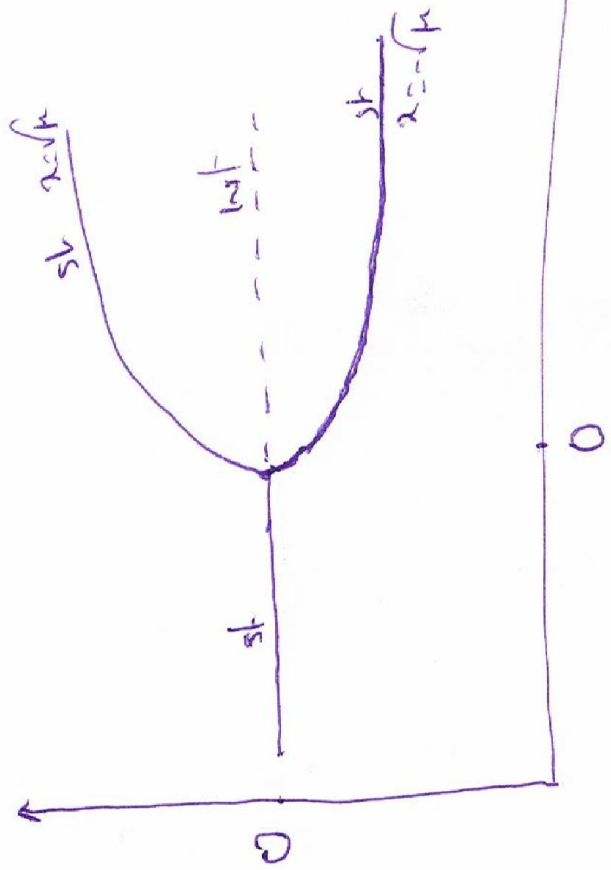
$$\begin{cases} \dot{x} = \mu x - x^3 \\ \dot{y} = -y \end{cases}$$

On distingue les cas suivants :

- i) $\mu < 0$, l'origine $O = (0,0)$ est le seul pt d'équilibre. C'est un noyau stable.
- ii) $\mu = 0$, $O = (0,0)$ est le seul pt d'équilibre, et est instable.
- iii) $\mu > 0$, $O = (0,0)$ est le seul pt d'équilibre, et est stable.

⑥

(iii) $\mu > 0$, trois pts d'équilibre l'origine $O = (0,0)$ et $A = (\sqrt{\mu}, 0)$ et $B = (-\sqrt{\mu}, 0)$. L'origine est un col et ~~un puits~~ A et B sont des noeuds stables.
 $\mu = 0$ est la valeur de bifurcation



1.9.6. Bifurcation de Hopf

Le système qui on considère est décrit par

$$\begin{cases} \dot{x} = y + \alpha(x - x^*) \\ \dot{y} = -\alpha x + (x - x^*)^2 - y^* \end{cases}$$

Ce système admet un unique pt d'équilibre, l'origine $(0,0)$ pour toute valeur de α . Recrivons ce système sous formes polaires on obtient

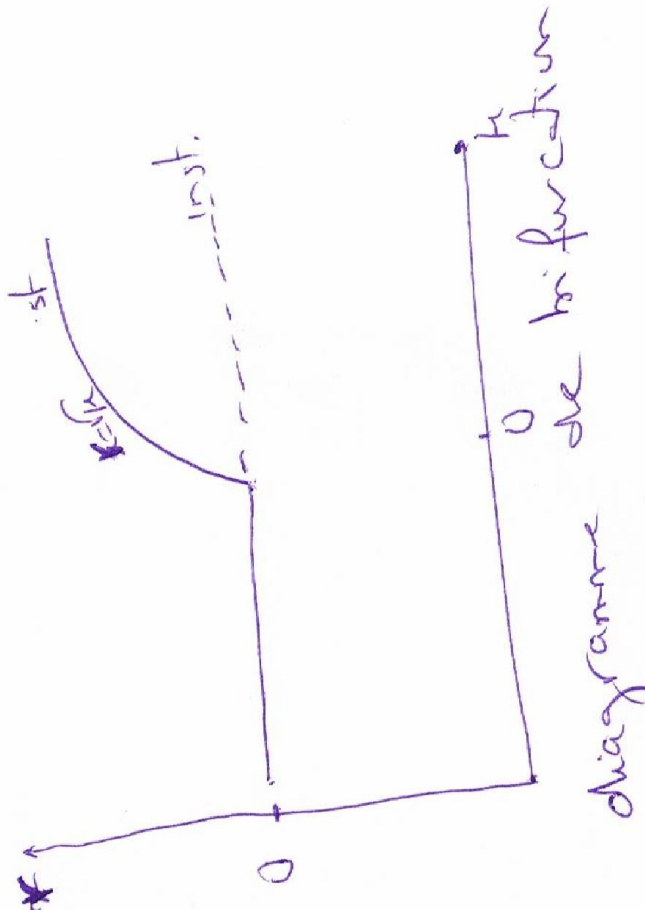
$$\begin{cases} \dot{r} = r(\mu - r^2) \\ \dot{\theta} = -1 \end{cases}$$

Trois cas se présentent:

- (i) $\mu < 0$: l'origine $r = 0$ (ou $O = (0,0)$) est le seul point d'équilibre. C'est un foyer stable.
- (ii) $\mu = 0$, l'origine est le seul point d'équilibre et c'est un foyer stable.
- (iii) $\mu > 0$, aussi l'origine est le seul

(7)

(iii) $\mu > 0$, deux plus d'équilibre $r = 0$ qui correspond à l'origine O_1 , $dr = \sqrt{r} = \sqrt{\mu}$ qui correspond à un couple nul. L'origine est un foyer instable. Le cycle limite est stable. $\mu = 0$ est la valeur de bifurcation.



1.2.7. Bifurcation verticale
Considérons le système suivant:

$$\begin{cases} x' = rx + y \\ y' = -x + ry \end{cases}$$

On appelle $O = (0,0)$ comme point critique admettant un seul vecteur tangent de type diagonal pour toute valeur de r . En termes de coordonnées polaires, ce système s'exprime comme suit:

$$\begin{cases} r' = \delta r \\ \theta' = -1 \end{cases}$$

(8)

- On a trois cas possibles selon le signe du paramètre μ :
- (i) $\mu < 0$, l'origine est un foyer stable alors $r(H) = r(0)$ et l'origine est un centre.
 - (ii) $\mu = 0$, l'origine est un foyer instable mais $r(H) = r(0)$ est la valeur de bifurcation.
 - (iii) $\mu > 0$, l'origine est un foyer instable.

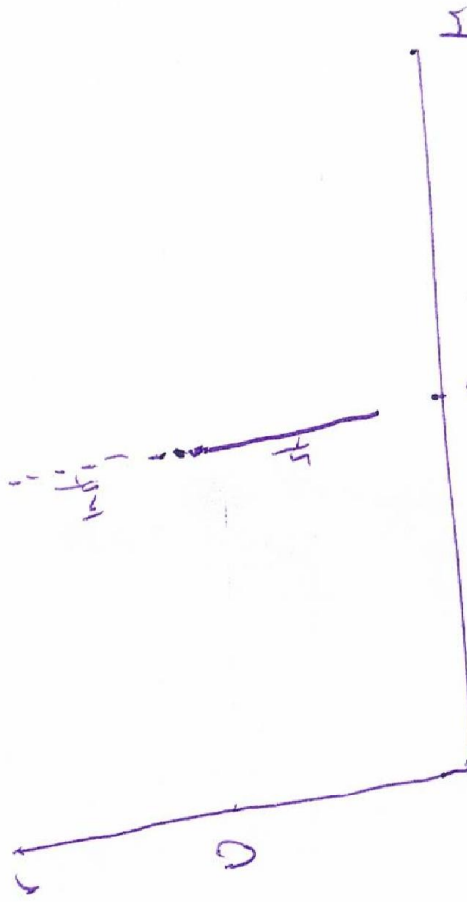


diagramme de bifurcation.